

الگوریتم بهینه‌سازی جستجوی آشوب بر نظریه آشوب

محمد کلانتری، سکینه سهرابی، حمیدرضا رشیدی کنعان و حسین کرمی

بهینه‌سازی، روش‌های فرالبتکاری بسیار سریع‌تر از روش‌های دقیق عمل می‌نمایند و این مزیت سبب شده تا از عدم تضمین این روش‌ها در دستیابی به جواب‌های بهینه چشم‌پوشی شود. ضمن آن که رسیدن به یک جواب تقریبی و نزدیک بهینه کلی، بهتر از بی‌جواب ماندن با روش‌های دقیق و غیر ابتکاری است [۴] تا [۵].

در یکی از دسته‌بندی‌های ارائه شده، الگوریتم‌های فرالبتکاری را به دو دسته الگوریتم‌های مبتنی بر جمعیت^۱ و الگوریتم‌های مبتنی بر یک جواب^۲ تقسیم‌بندی می‌کنند. الگوریتم‌های مبتنی بر یک جواب در حین فرایند جستجو یک جواب را تغییر می‌دهند در حالی که در الگوریتم‌های مبتنی بر جمعیت در حین جستجو، یک جمعیت از جواب‌ها در نظر گرفته می‌شوند [۶]. الگوریتم پیشنهادی در دسته الگوریتم‌های مبتنی بر جمعیت قرار می‌گیرد. پیشرفت‌های اخیری که در نظریه‌ها و برنامه‌های کاربردی دینامیک غیر خطی از جمله نظریه آشوب^۳ صورت گرفته است منجر به توجه بیشتر به این نظریه در بسیاری از زمینه‌ها شده است [۷]. یکی از این زمینه‌ها استفاده کاربردی از نظریه آشوب در الگوریتم‌های بهینه‌سازی است [۸]. پیش از این از نظریه آشوب در الگوریتم‌های بهینه‌سازی فرالبتکاری مانند جستجوی هارمونی^۴ (HSA)، تجمعی ذرات^۵ (PSO) [۹] و کلونی زنبور عسل^۶ [۱۱] استفاده شده است. مطالعات تجربی نشان می‌دهد که استفاده از نظریه آشوب در الگوریتم‌های فرالبتکاری می‌تواند باعث بهبود عملکرد الگوریتم بهینه‌سازی شود [۱۲].

در این مقاله نسخه بهبودیافته الگوریتم جستجوی آشوب بر نظریه آشوب از دسته ارائه می‌شود که در این راستا از نظریه آشوب استفاده شده و مقادیر حاصل از نگاشتهای آشوب جایگزین مقادیر تصادفی موجود در الگوریتم جستجوی آشوب استاندارد می‌شود. نتایج آزمایشات بر روی توابع محبک استاندارد نشان می‌دهد که الگوریتم جستجوی آشوب که از ترکیب الگوریتم جستجوی آشوب استاندارد می‌باشد اما نزدیک به آن است. الگوریتم جستجوی آشوب برخورداری از همگرایی سریع‌تر، دقت بیشتری نیز در یافتن جواب بهینه نسبت به الگوریتم جستجوی آشوب استاندارد و همچنین الگوریتم‌های ژنتیک^۷، بهینه‌سازی تجمعی ذرات و جستجوی هارمونی دارد.

ادامه مقاله به صورت زیر سازماندهی شده است: در بخش دوم الگوریتم جستجوی آشوب توضیح داده می‌شود. در بخش سوم نظریه آشوب شرح داده خواهد شد. در بخش چهارم به توضیح الگوریتم پیشنهادی پرداخته می‌شود. در بخش پنجم نتایج حاصل از اجرای الگوریتم شرح داده خواهد شد و نتیجه‌گیری در بخش ششم ارائه می‌شود.

چکیده: در این مقاله الگوریتم بهینه‌سازی جستجوی آشوب با استفاده از نظریه آشوب ارائه می‌شود که ضعف الگوریتم بهینه‌سازی جستجوی آشوب استاندارد، یعنی سرعت همگرایی و افزایش تعداد تکرار اجرای الگوریتم برای رسیدن به جواب بهینه را برطرف می‌نماید. در گام ایجاد ذرات و گام جستجو، مقادیر حاصل از نگاشت چیزیف و لیسوویچ، جایگزین مقادیر تصادفی موجود در الگوریتم استاندارد می‌شود که این امر باعث بهبود نتایج حاصل از اجرای الگوریتم شده و انحراف عیار نتایج را کاهش می‌دهد. نتایج شیوه‌سازی بر روی توابع محبک استاندارد نشان می‌دهد که الگوریتم پیشنهادی ضمن برخورداری از همگرایی سریع‌تر، دقت بیشتری نیز در یافتن جواب بهینه نسبت به الگوریتم جستجوی آشوب استاندارد و همچنین الگوریتم‌های بهینه‌سازی دیگر نظریه ژنتیک، ازدحام ذرات و الگوریتم جستجوی هارمونی دارد.

کلیدواژه: الگوریتم فرالبتکاری مبتنی بر نظریه آشوب، الگوریتم جستجوی آشوب، مسئله بهینه‌سازی، نظریه آشوب.

۱- مقدمه

امروزه بهینه‌سازی نقش مهمی در حل مسایل ایفا می‌کند. بسیاری از مسایل بهینه‌سازی پرکاربرد به صورت غیر خطی می‌باشند که معمولاً با تعداد متعددی بهینه محلی همراه هستند و در نتیجه حل این دسته از مسایل بسیار چالش‌برانگیز است [۱]. تکنیک‌های بهینه‌سازی، به خصوص الگوریتم‌های تکاملی به دلیل انعطاف‌پذیری و سادگی به طور گسترده برای حل مشکلات علمی و مسایل بهینه‌سازی مختلف استفاده می‌شوند [۲]. تکنیک‌های فرالبتکاری به عنوان روش‌های بهینه‌سازی سراسری شناخته شده، در حل بسیاری از مسایل دنیای واقعی و مسایل بهینه‌سازی پیچیده موفق بوده‌اند [۳]. روش‌های ابتکاری^۸، تکنیک‌های طراحی شده برای حل سریع‌تر مسایلی است که روش‌های حل معمولی در آنها بسیار کند عمل کرده و یا نمی‌توانند به جواب برسند. هدف الگوریتم‌های ابتکاری تولید جوابی منطقی در مدت زمانی معقول است. این جواب الزاماً جواب بهینه کلی مسئله نمی‌باشد اما نزدیک به آن است. الگوریتم‌های فرالبتکاری، یکی از انواع الگوریتم‌های بهینه‌سازی تقریبی هستند که دارای راهکارهایی جهت برآوردن رفت از نقاط بهینه محلی هستند. در حوزه

این مقاله در تاریخ ۲۹ مهر ماه ۱۳۹۶ دریافت و در تاریخ ۱۸ اردیبهشت ماه ۱۳۹۷ بازنگری شد. این پژوهش با حمایت مالی دانشگاه تربیت دیر شهید رجایی طبق قرارداد شماره ۲۶۲۳۶ ۱۳۹۵/۷/۱۰ مورخ ۱۱ انجام گردیده است.

محمد کلانتری، دانشکده مهندسی کامپیوتر، دانشگاه تربیت دیر شهید رجایی، تهران، (email: m.kalanteri@sru.ac.ir)

سکینه سهرابی، دانشکده مهندسی کامپیوتر، دانشگاه تربیت دیر شهید رجایی، تهران، (email: s.sohrabi@sru.ac.ir)

حمیدرضا رشیدی کنعان، دانشکده مهندسی کامپیوتر، دانشگاه تربیت دیر شهید رجایی، تهران، (email: h.rashidykanan@sru.ac.ir)

حسین کرمی، دانشکده مهندسی برق، دانشگاه صنعتی امیرکبیر، تهران، (email: h.karami@aut.ac.ir)

1. Heuristic

2. Population Based Algorithm

3. Single Solution Algorithm

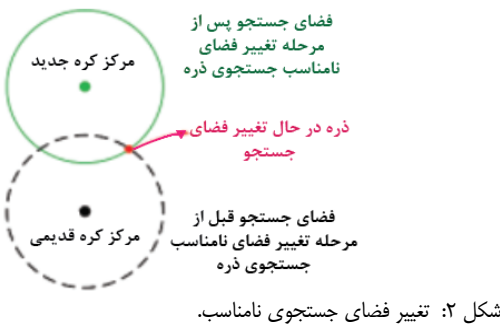
4. Chaos Theory

5. Harmony Search Algorithm

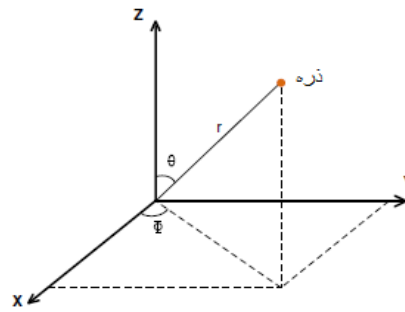
6. Particle Swarm Optimization Algorithm

7. Bee Colony

8. Genetic Algorithm



شکل ۲: تغییر فضای جستجوی نامناسب.



شکل ۱: زاویه‌های یک ذره در فضای سه بعدی.

۲-۲ جستجو

در این گام یک ذره با جستجو در فضای محدود شده به وسیله یک کره که مرکز آن یکی از ذرات انتخاب شده در گام قبل می‌باشد، به دنبال یک پاسخ بهتر می‌گردد. فرایند جستجو با تغییر پارامترهای ذره در مختصات کروی یعنی r و θ انجام می‌شود که در این حالت، مرکز مختصات در مرکز کره تنظیم شده است. لازم به ذکر است که در فضای N بعدی، $N-1$ زاویه در مختصات کروی وجود دارد که تغییر هر یک منجر به جابجایی ذره در فضای جستجو می‌شود. برای مثال همان طور که در شکل ۱ نشان داده شده است، در یک فضای ۳ بعدی، یک نقطه دو زاویه با محور مختصات می‌سازد. در این مرحله، تمام $N-1$ زاویه‌ای که یک ذره با مرکز کره (مرکز مختصات) می‌سازد، با احتمالی که در آغاز الگوریتم در نظر گرفته شده است، به اندازه α رادیان تغییر می‌کند. مقدار α به صورت تصادفی با یک توزیع یکنواخت بین $(0, 2\pi)$ در هر تکرار تعیین می‌شود. در نهایت مقدار شاعر کره، فاصله بین ذرات و مرکز کره متناظر با آنها به صورت تصادفی در بازه $[r_{\min}, r_{\max}]$ انتخاب می‌شود که در یک کره N بعدی با استفاده از (۳) محاسبه می‌شود

$$r_{\max} = \sum_{i=1}^N (P_{i,center} - P_{i,particle})^{\alpha} \quad (3)$$

در (۳) متغیر N بیانگر تعداد متغیرهای تابع محک مورد بررسی بوده و مقدار متغیرهای $P_{i,center}$ و $P_{i,particle}$ به ترتیب برابر مقدار متغیر i در ذره و مرکز کره مورد بررسی می‌باشد.

۳-۲ تغییر فضای جستجوی نامناسب

هر ذره که به عنوان مرکز کره انتخاب می‌شود و ذراتی که به آن تعلق می‌گیرند یک مجموعه ذرات را به وجود می‌آورند. بعضی ذرات موجود در این مجموعه دارای مقدار تابع هدف نامناسبی هستند. بنابراین انتظار نمی‌رود که آنها بتوانند به مقدار مطلوب برای تابع هدف مورد بررسی بررسند و در نتیجه فضای تحت جستجوی آنها باید تغییر یابد. این ذرات نامناسب شناسایی شده و به کره‌های دیگر اختصاص می‌باشند تا بتوانند فضای مناسب‌تری را جستجو نمایند. برای مثال می‌توانید شکل ۲ را مشاهده نمایید.

لازم به ذکر است بعد از جستجو احتمال دارد یک ذره به موقعیتی با مقدار تابع هدف کمتر از مرکز کره متناظر با خود برسد. در این حالت ذره مورد نظر به عنوان مرکز کره شناخته شده و مرکز کره قبلی به عنوان ذره، حول مرکز کره جدید، فضا را جستجو می‌کند.

۴- تولید ذرات جدید

برای جستجوی بهتر فضا و منحط‌تر نمودن الگوریتم، تعداد مشخصی از بدترین ذرات، یعنی ذراتی که دارای مقدار تابع هدف بیشتری می‌باشند،

۲- الگوریتم فرالبتکاری جستجوی ابرکروی استاندارد

الگوریتم جستجوی ابرکروی استاندارد^۱ (HSS)، اولین بار توسط کرمی و همکاران در سال ۲۰۱۴ ارائه شده است [۱۳]. این الگوریتم مانند سایر الگوریتم‌های فرالبتکاری با تولید ذرات به صورت تصادفی شروع به کار می‌کند که هر ذره بیانگر یک جواب کاندید برای مسئله پیش رو می‌باشد. هر ذره دارای دو قسمت متغیرها و مقدار تابع هدف می‌باشد. متغیرهای یک ذره نشان‌دهنده مقادیر اختصاص داده شده به متغیرهای تابع محک مورد بررسی می‌باشند و مقدار تابع هدف یک ذره بیانگر نتیجه حاصل از اجرای الگوریتم برای تابع محک مورد نظر به ازای مقادیر موجود در قسمت متغیرها است. در این الگوریتم از بین ذرات اولیه تولید شده، بهترین ذرات به عنوان مراکز کره انتخاب می‌شوند و بقیه ذرات بر اساس معیاری که در گام اول الگوریتم توضیح داده خواهد شد، به کره‌ها تخصیص می‌یابند. الگوریتم مذکور از پنج گام به قرار زیر تشکیل می‌شود.

۱- مقداردهی اولیه و تولید ذرات

در این گام پس از آن که پارامترهای اولیه الگوریتم مانند تعداد مراکز کره، تعداد ذرات جدیدی که در هر تکرار اضافه می‌شود و تعداد جمعیت اولیه مقداردهی شدن، جمعیت اولیه به صورت تصادفی تولید می‌شود و به تعداد معین از بین بهترین ذرات (ذراتی با کمترین مقدار تابع هدف) مراکز کره انتخاب می‌شوند. سپس مابقی ذرات بر اساس معیار غلبه مراکز کره‌ها که با استفاده از (۱) به دست می‌آید در میان کره‌ها توزیع می‌شوند. هر کره و مرکز آن، نماینده یک ناحیه است. در واقع فضای جستجو از این طریق به نواحی مختلف تقسیم می‌شود

$$D_{SC} = \left| \frac{OFD_{SC}}{\sum_{i=1}^{N_{SC}} OFD_i} \right| \quad (1)$$

در (۱) مقدار OFD برای هر مرکز کره برابر است با اختلاف تابع هدف آن مرکز با بیشینه مقدار تابع هدف از بین همه مراکز کره‌ها که با استفاده از (۲) محاسبه می‌شود

$$OFD_{sc} = f_{sc} - \max_{j \in SC_s} \{f_j\} \quad (2)$$

در این رابطه f_{sc} عبارت است از مقدار تابع هدف مرکز کره مورد بررسی و SC_s بیانگر مجموعه مراکز کره‌ها می‌باشد.

1. Hyper Spherical Search

2. Objective Function Difference

3. Spherical Center Set

- جادبه عجیب ممکن تر و قدرت پیش‌بینی بیشتر می‌باشد.
- (۲) اثر پروانه‌ای^۳: سیستم‌های آشوناک، سیستم‌های دینامیکی غیر خطی می‌باشند که نسبت به شرایط اولیه‌شان بسیار حساس هستند و تغییری اندک در شرایط اولیه چنین سیستم‌هایی، باعث تغییرات بسیار در عملکرد سیستم می‌شود. این پدیده به عنوان «اثر پروانه‌ای» مشهور است که توسط لورن مطرح شده است [۱۷].
- (۳) سازگاری پویا^۴: سیستم‌های بی‌نظم در ارتباط با محیط‌شان همانند موجودات زنده رفتار می‌کنند و نوعی تطبیق و سازگاری پویا بین آنها و پیرامونشان برقرار است.
- (۴) خودشabahtی^۵: در نظریه آشوب و معادلات آن، نوعی شباهت بین اجزا و کل، قابل تشخیص است. مثال معروف آن، یک صفحه هولوگرام است که توسط لیزر، تصویری بر آن ضبط شده باشد. این صفحه دارای خاصیتی است که اگر به قطعاتی تقسیم شود، هر قطعه آن تصویر کامل را نشان خواهد داد.
- در جدول ۱ نگاشتهای آشوب مورد استفاده در این مقاله آورده شده است. باید توجه داشت که نگاشت مناسب برای مسایل مختلف با توجه به فرکانس و فرکانس نگاشت انتخابی باید به گونه‌ای باشد که تمام فضای دامنه و فرکانس نگاشت انتخابی آورده شده [۱۲] زیرا ممکن است جستجو مسئله را در تعداد تکرار کم پوشش دهد. در تکرار متواتی کمتر از مقدار آستانه تعیین شده شود. در این مقاله این مقدار را برابر 10^{-3} در نظر گرفته‌ایم.

۴- الگوریتم پیشنهادی بهینه‌سازی جستجوی ابرکروی مبتنی بر نظریه آشوب

در این بخش الگوریتم پیشنهادی ارائه می‌شود. همان طور که در بخش ۲ توضیح داده شد در الگوریتم جستجوی ابرکروی در دو مرحله تولید ذره (بخش ۱-۲ و ۴-۲) و جستجو (بخش ۲-۲) از اعداد تصادفی با تابع توزیع احتمال یکنواخت استفاده می‌شود. در الگوریتم پیشنهادی ابتدا از نگاشتهای آورده شده در جدول ۱ برای هر مرحله به صورت جداگانه استفاده شده است. سپس با استفاده از نتایج حاصل از هر بخش، نگاشتهایی که باعث کاهش انحراف معیار و بهبود نتایج حاصل از اجرای الگوریتم در هر مرحله می‌شوند، انتخاب و به صورت همزمان مورد استفاده قرار می‌گیرند تا جفت نگاشت مناسب انتخاب شوند. برای این منظور ابتدا گام جستجو مورد آزمایش قرار گرفته است. همان طور که در بخش ۲-۲ گام جستجو مورد آزمایش قرار گرفته است. همان طور که در بخش ۲-۲ توضیح داده شد در قسمت جستجو یک ذره با جستجو در فضای محدود شده به وسیله یک کره که مرکز آن مختصات یکی از بهترین ذرات می‌باشد به دنبال یک پاسخ بهتر می‌گردد. فرایند جستجو با تغییر پارامترهای ذره در مختصات کروی یعنی r و θ انجام می‌شود. در الگوریتم پیشنهادی برای تنظیم میزان تغییر شعاع و زاویه از اعداد تولید شده توسط نگاشتهای آشوب به منظور بهبود الگوریتم جستجوی ابرکروی استفاده شده است. سپس قسمت تولید ذرات مورد بررسی قرار می‌گیرد که مستلزم بررسی گام اول و چهارم الگوریتم است. در گام اول برای تولید جمعیت اولیه و در گام چهارم برای تولید ذرات جدید از اعداد تصادفی در بازه تعیین شده برای هر متغیر استفاده می‌شود. در الگوریتم پیشنهادی مقادیر حاصل از نگاشتهای آورده شده در جدول ۱ جایگزین

جدول ۱: نگاشتهای آشوب.

نام	بازه	فرمول
نگاشت چیشف (Chebyshev Map)	(+, ۱)	$x_{k+1} = \cos(k \cdot \cos^{-1} x_k)$
نگاشت تکاری (Iterative Map)	(+, ۱)	$x_{k+1} = \sin \frac{\alpha \Pi}{x_k}, \alpha \in (0, 1)$
نگاشت لجستیک (Logistic Map)	(+, ۱)	$x_{k+1} = \alpha x_k (1 - x_k), x \in (0, 1), \alpha = 4$
نگاشت دائره (Circle Map)	(+, ۱)	$x_{k+1} = x_k + b - \frac{\alpha}{\pi \Pi} \cdot \sin(\pi \Pi x_k) \bmod e(1)$
نگاشت لیبوویچ (Liebovitch Map)	(+, ۱)	$x_{k+1} = \begin{cases} \alpha x_k & , 0 < x_k < p_1 \\ \frac{p_1 - x_k}{p_1 - p_1} & , p_1 < x_k < p_2 \\ 1 - \beta(1 - x_k) & , p_2 < x_k < 1 \end{cases}$

حذف می‌شوند و سپس به همان تعداد، ذرات جدید تولید و جایگزین می‌شوند. لازم به ذکر است این تعداد نباید زیاد باشد. برای تولید ذرات جدید مانند گام اول عمل می‌شود.

۵- آزمون همگرایی

الگوریتم با رسیدن به یکی از شرایط زیر خاتمه می‌یابد:

(الف) تعداد تکرار اجرای الگوریتم به یک تعداد معین برسد.

(ب) اختلاف بین بهترین کره از بین کره‌های موجود در دو تکرار

متوالی کمتر از مقدار آستانه تعیین شده شود. در این مقاله این مقدار

را برابر 10^{-3} در نظر گرفته‌ایم.

۳- نظریه آشوب

یکی از مفاهیم جدید و بنیادی علم نوین، مفهوم آشوب است که افق درک ما نسبت به هستی را بسیار گسترش می‌دهد. امروزه نظریه آشوب را نوعی نظم در بی‌نظمی تعریف می‌کنند. در واقع منظور از این تئوری ناکارامدی و یا به هم ریختگی نمی‌باشد. این نظریه را هلیز این گونه توصیف کرده است: "بی‌نظمی و آشوب، نوعی بی‌نظمی منظم یا نظم در بی‌نظمی است، بی‌نظم از آن رو که نتایج آن غیر قابل پیش‌بینی می‌باشد و نظم بدان جهت که از نوعی قطعیت برخوردار است" [۱۴].

آشوب در مفهوم دقیق و ریاضی آن پدیدهای به ظاهر تصادفی و پیچیده است که در باطن، دارای طبیعتی قطعی^۶ می‌باشد و به شکلی است که از یک معادله دیفرانسیل ساده می‌توان رفتارهای بسیار پیچیده‌ای را انتظار داشت [۱۵]. در اکثر الگوریتم‌های فرابتکاری با اجزای تصادفی، تابع توزیع احتمال استفاده شده برای تولید اعداد تصادفی، تابع توزیع احتمال گاویسی یا یکنواخت^۷ می‌باشد. با جایگزینی مقادیر حاصل از نگاشت آشوب به جای این مقادیر تصادفی نتایج بهتری حاصل شده و علی‌رغم تصادفی بودن اعداد می‌توان به قطعی بودن نتایج حاصل اطمینان داشت [۱۶]. چهار ویژگی مشترک در سیستم‌های آشوناک مطرح شده‌اند که در ادامه به اختصار آورده شده است.

(۱) جاذبه‌های عجیب^۸: جاذبه‌های عجیب، الگوهایی هستند که از منظر یا منظرهای گوناگون بی‌نظم و آشفته، ولی از منظر یا منظرهای دیگر دارای نظم هستند. هرچه افق دید گستردگر باشد، یافتن

4. Butterfly Effect
5. Dynamic Adaptation
6. Self Similarity

1. Deterministic
2. Uniform
3. Strange Attraction

استفاده در جدول ۳ آمده است. با توجه به جدول ۲ تعداد تکرار اجرای الگوریتم برای رسیدن به جواب مطلوب در الگوریتم پیشنهادی برابر هفتاد و در دیگر الگوریتم‌های مورد بررسی برابر صد در نظر گرفته شده است. همچنین برای معتبربودن نتایج مقایسه، فضای جستجو برای هر یک از توابع در همه الگوریتم‌ها یکسان در نظر گرفته شده است. این ۳ مرحله آزمایش به قرار زیر است:

۱-۵ انتخاب نگاشت مناسب برای قسمت جستجو

در آزمایش اول به دنبال یافتن نگاشتهای مناسب جهت استفاده در قسمت جستجو گشتیم. بررسی نتایج حاصل از آزمایش اول که در جدول ۴ آمده است بیانگر این نتیجه است که نگاشتهای مناسب برای قسمت جستجو، نگاشتهای لیبوویچ و چیشف می‌باشد که نتایج بهتری را نسبت به دیگر نگاشتها بر روی توابع محک دارا می‌باشند. برای مثال مقدار کمینه حاصل از نگاشت تکراری در تابع F8 با مقدار کمینه مطلوب اختلاف قابل توجهی داشته و نگاشت تکراری نمی‌تواند گزینه مناسبی برای این تابع باشد. اما نگاشت لیبوویچ جواب مناسب‌تری را برای این تابع دارا می‌باشد. همچنین در تابع F13 نگاشت چیشف جواب مناسب‌تری را برای این نگاشتها موفق‌تر عمل کرده است.

۲-۵ انتخاب نگاشت مناسب برای قسمت تولید ذرات

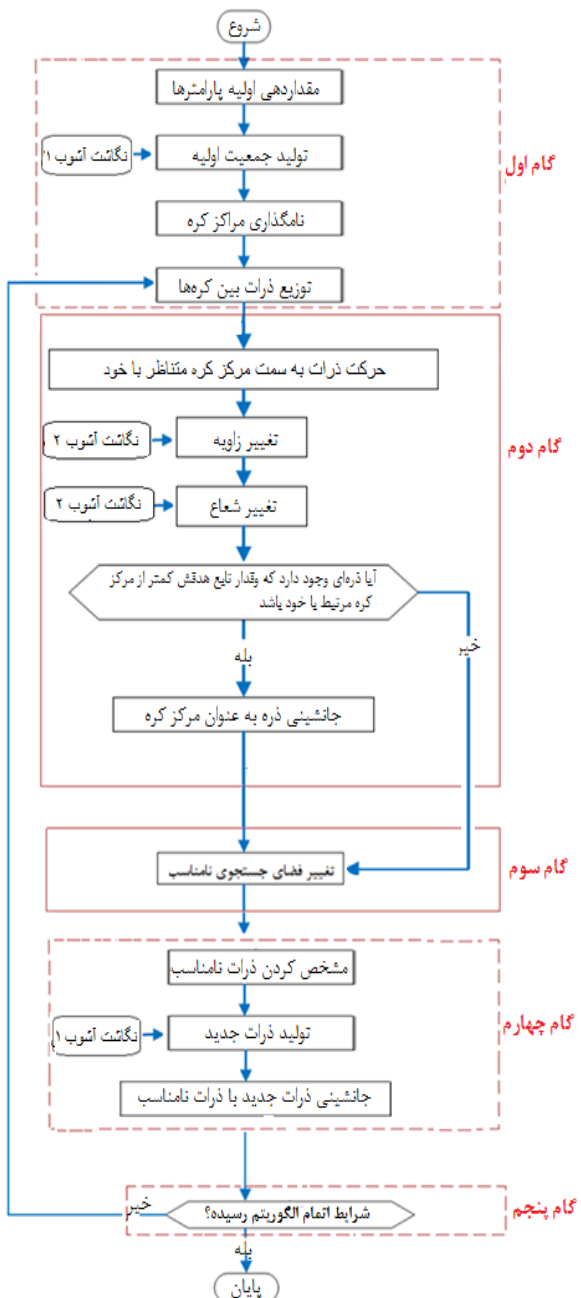
در آزمایش دوم به دنبال یافتن نگاشتهای مناسب جهت استفاده در قسمت تولید ذرات گشتیم. نتایج حاصل از آزمایش دوم در جدول ۵ آمده است. با توجه به مقدایر آورده شده در این جدول می‌توان نتیجه گرفت که نگاشتهای مناسب برای قسمت تولید ذرات، نگاشتهای لجیستیک و چیشف می‌باشند. برای مثال مقدار مطلوب اختلاف قابل توجهی داشته و این نگاشت نمی‌تواند گزینه مناسبی برای این تابع باشد. اما نگاشت چیشف جواب مناسب‌تری برای این تابع دارد.

۳-۵ انتخاب جفت نگاشت سازگار

در این مقاله به دنبال مناسب‌ترین نگاشتها برای قسمت تولید ذرات و قسمت جستجو گشتیم تا در صورت استفاده همزمان بتوانند انحراف معیار و مقدار کمینه حاصل از الگوریتم را نسبت به دیگر الگوریتم‌های مورد بررسی بهبود دهند. باید توجه داشت که برای هر یک از توابع ممکن است چندین نگاشت نتایج مشابه را داشته باشند اما در این مقاله به دنبال یک جفت نگاشت سازگار گشتیم تا بتوانیم به نتیجه مطلوب بر روی تمامی و یا بیشتر توابع محک مورد بررسی برسیم.

پس از انتخاب نگاشتهای مناسب در آزمایش اول و دوم، آزمایش سوم انجام می‌شود و هر یک از نگاشتهای انتخاب شده در آزمایش اول به صورت همزمان با هر یک از نگاشتهای انتخاب شده در آزمایش دوم، مورد استفاده قرار می‌گیرد تا مناسب‌ترین جفت نگاشت انتخاب شوند و این آزمایش بیست مرتبه تکرار می‌شود.

در این مرحله علاوه بر اجرای الگوریتم پیشنهادی با استفاده از جفت نگاشتهای انتخاب شده از آزمایش اول و دوم، آزمایش بر روی دیگر جفت نگاشتها از بین نگاشتهای آورده شده در جدول ۱ تکرار شده که نتایج برخی از جفت نگاشتها که موفق‌تر بوده‌اند، در جدول ۶ آورده شده است. باید توجه داشت که برای هر یک از توابع ممکن است چندین نگاشت، نتایج مشابه را داشته باشند اما در این مقاله به دنبال یک جفت نگاشت سازگار گشتیم تا در صورت استفاده همزمان بتوانند بر روی تمامی



شکل ۳: الگوریتم جستجوی ابرکروی پیشنهادی مبتنی بر نظریه آنوب.

اعداد تصادفی مورد استفاده در الگوریتم HSS می‌شوند. پس از بررسی نتایج حاصل از هر مرحله، نگاشتهای مناسب برای هر قسمت تعیین و مجددأ به صورت همزمان آزمایش می‌شوند. در این مقاله بر اساس نتایج به دست آمده به دنبال انتخاب مناسب‌ترین نگاشت برای هر بخش گشتیم که منجر به کاهش انحراف معیار و بهبود نتایج حاصل از اجرای الگوریتم در تمامی توابع محک مورد بررسی شود. روند اجرای الگوریتم جستجوی ابرکروی پیشنهادی مبتنی بر نظریه آنوب در شکل ۳ آورده شده است.

۵- نتایج آزمایشات

در این بخش کارایی الگوریتم پیشنهادی را بر روی توابع محک استاندارد مورد بررسی قرار می‌دهیم. بدین منظور در ۳ مرحله آزمایش، نگاشتهای مناسب برای هر قسمت را بررسی می‌نماییم. شرایط در نظر گرفته شده برای انجام هر آزمایش در جدول ۲ و توابع هدف [۱۸] مورد

جدول ۲: شرایط در نظر گرفته شده برای انجام آزمایش‌های انجام شده.

شماره آزمایش	توضیح	تعداد تکرار آزمایش	اول	دوم	سوم	انتخاب جفت نگاشت مناسب برای قسمت جستجو	انتخاب نگاشت مناسب برای قسمت تولید ذرات	انتخاب جفت نگاشت سازگار
			۲۰	۲۰	۲۰			
CHSS	HSS	CHSS	HSS	CHSS	HSS	$f(x_i, x_r) = x_r(\sin(x_i)x_r) + x_r(\cos(x_r - x_i))x_i$	$f(x_i, x_r) = x_i \sin(4x_r) + 1/x_r \sin(4x_i)$	$f(x_i, x_r) = x_i \sin(x_r) + x_r \sin(x_i)$
۲	۲	۲	۲	۲	۲	EASOM	F۱	حداکثر تعداد اجرای الگوریتم
۷۰	۱۰۰	۱۰۰	۱۰۰	۱۰۰	۱۰۰	GHAEMI	F۲	تعداد تکرار در هر بار اجرا
۱۰۰۰	۱۰۰۰	۱۰۰۰	۱۰۰۰	۱۰۰۰	۱۰۰۰	DROP-WAVE	F۳	تعداد جمعیت اولیه ذرات
۵۰	۵۰	۵۰	۵۰	۵۰	۵۰	SCHAFFER	F۴	تعداد مرکز کره

جدول ۳: توابع هدف.

شناسه	نام تابع	فرمول	دامنه
F۱	EASOM	$f(x_i, x_r) = x_r(\sin(x_i)x_r) + x_r(\cos(x_r - x_i))x_i$	$-5 < x_i, x_r < 5$
F۲	GHAEMI	$f(x_i, x_r) = x_i \sin(4x_r) + 1/x_r \sin(4x_i)$	$-1 < x_i, x_r < 1$
F۳	DROP-WAVE	$f(x_i, x_r) = -\frac{1 + \cos(\sqrt{2} \sqrt{x_i^2 + x_r^2})}{x_i \Delta(x_i^2 + x_r^2) + 2}$	$-6 < x_i < 6$ $i = 1, 2, \dots, 6$
F۴	SCHAFFER	$f(x_i, x_r) = \frac{1 + \cos^2(\sin^2(x_i^2 + x_r^2)) - 1}{1 + x_i^2(x_i^2 + x_r^2)}$	$-10 < x_i, x_r < 10$
F۵	EASOM	$f(x_i, x_r) = -(\cos x_i \cos x_r) \exp(-(x_i - \Pi)^2 - (x_r - \Pi)^2)$	$-5 < x_i, x_r < 5$
F۶	EGGHOLDER	$f(x_i, x_r) = -(x_r + 4V) \sin \sqrt{ x_r + \frac{x_i}{V} + 4V } - x_i \sin \sqrt{ x_i + (x_r + 4V) }$	$-512 < x_i, x_r < 512$
F۷	GRAMACY & LEE	$f(x) = \frac{\sin(\gamma \cdot \Pi x)}{\gamma x} + (x - 1)^2$	$-10 < x_i, x_r < 10$
F۸	TRID	$f(x_i, x_r, x_v, x_f, x_d) = \sum_{i=1}^5 (x_i - 1)^2 - \sum_{i=1}^5 x_i x_{i-1}$	$-36 < x_i < 36$ $i = 1, 2, \dots, 6$
F۹	SHUBERT	$f(x_i, x_r) = (\sum_{i=1}^5 i \cos((i+1)x_i + i)) \cdot (\sum_{i=1}^5 i \cos((i+1)x_r + i))$	$-512 < x_i, x_r < 512$
F۱۰	SIX-HUMP CAMEL	$f(x_i, x_r) = (4 - \gamma / \lambda x_i^2 + \frac{x_i^2}{\gamma}) x_i^2 + x_i x_r + (-4 + \gamma x_r^2) x_r^2$	$-3 < x_i < 3$ $-2 < x_r < 2$
F۱۱	BEALE	$f(x_i, x_r) = (1.5 - x_i + x_i x_r)^2 + (2.25 - x_i + x_i x_r)^2 + (2.625 - x_i + x_i x_r)^2$	$-5 < x_i, x_r < 5$
F۱۲	BRANIN	$f(x_i, x_r) = \frac{1}{51.95} [(\bar{x}_r - \frac{\Delta x_i}{4\pi^2} + \frac{\Delta x_i}{\pi}) - \sigma]^2 + (1 - \frac{1}{\lambda\pi}) \cos \bar{x}_i - 44.81]$, where $\bar{x}_i = 15x_i - 5$, $\bar{x}_r = 15x_r$	$-1 < x_i, x_r < 1$
F۱۳	MISHEA'S BIRD	$f(x_i, x_r) = \sin x_r \exp(-\cos x_i)^2 + \cos x_i \exp(-\sin x_r)^2 + (x_i - x_r)^2$ subjected to: $(x_i + \delta)^2 + (x_r + \delta)^2 < 25$	$-10 < x_i < 10$ $-5, 5 < x_r < 5$
F۱۴	CROSS-IN-TRAY	$f(x_i, x_r) = -(-\dots(\left \sin x_i \sin x_r \exp \left \dots - \frac{\sqrt{x_i^2 + x_r^2}}{\pi} \right + 1 \right ^n))$	$-10 < x_i, x_r < 10$

جدول ۴: نتایج حاصل از توابع محک استاندارد با استفاده از نگاشتهای مختلف در قسمت جستجو.

تابع	معیار	نگاشت					
		دایره	تکراری	لیبوویچ	لچیستیک	چیشف	
F۱	Min (SD)	-0.9998 (3.53E-04)	-0.9993 (5.45E-04)	-0.9986 (2.55E-04)	-0.9998 (8.16E-04)	-0.9999 (1.57E-04)	
F۲	Min (SD)	-18.543 (0.10087)	-18.545 (0.10237)	-18.550 (1.57E-03)	18.552 (1.55E-02)	-18.554 (0.1004)	
F۳	Min (SD)	-0.9636 (6.61E-04)	-0.9980 (0.1001)	-0.999 (0.1001)	-0.9732 (7.8E-04)	-0.999 (0.1002)	
F۴	Min (SD)	.739514 (8.12E-05)	.739514 (5.57E-05)	.739514 (3.78E-05)	.739514 (1.19E-04)	.739514 (2.79E-05)	
F۵	Min (SD)	-0.9998 (0.10011)	-0.9994 (8.65E-04)	-0.9999 (1.437E-04)	-0.9996 (9.962E-04)	-0.9993 (7.31E-04)	

F۶	Min (SD)	-۹۵۹,۶۴۱ (۳,۰۶E-۰۵)	-۹۵۹,۶۴۱ (۲,۶۸E-۰۴)	-۹۵۹,۶۴۱ (۱,۹۱E-۰۵)	-۹۵۹,۶۴۱ (۱,۴۸E-۰۴)	-۹۵۹,۶۴۱ (۲,۴۲E-۰۴)
F۷	Min (SD)	-۲,۰۷۳۹ (۱,۹۳E-۰۴)	-۲,۰۷۳۹ (۹,۲۱E-۰۵)	-۲,۰۷۳۹ (۹,۹۰E-۰۵)	-۲,۰۷۳۹ (۱,۰۰۴E-۰۴)	-۲,۰۷۳۹ (۶,۷۴E-۰۵)
F۸	Min (SD)	-۳۴,۳۵۸۵ (۴,۱۱۰)	-۳۲,۰۵۵۲ (۱,۳۰۰)	-۴۳,۰۱۴۵ (۳,۳۳۳)	-۳۱,۴۹ (۲,۱۶۸)	-۴۱,۲۷۳۵ (۱,۶۱۵۶)
F۹	Min (SD)	-۱۸۶,۲۹ (۰,۳۶)	-۱۸۶,۵۱ (۰,۶۸)	-۱۸۶,۷۱ (۰,۲۳۸)	-۱۸۶,۷۰ (۱,۷۲۰)	-۱۸۶,۶۸ (۱,۰۲۲)
F۱۰	Min (SD)	-۱,۰۳۱۶ (۰,۰۰۲۵)	-۱,۰۰۳۸ (۰,۰۰۳۴)	-۱,۰۳۱۶ (۰,۰۰۱۷)	-۱,۰۳۱۱ (۰,۰۰۲۵)	-۱,۰۳۱۲ (۰,۰۰۱۴)
F۱۱	Min (SD)	۹,۱۱۰E-۴ (۰,۰۰۱۳)	۷,۰۷۹۳E-۴ (۷,۰۴۳۷E-۴)	۲,۴۰۸E-۴ (۹,۱۶۳E-۴)	۳,۹۱۵E-۴ (۵,۰۳۷۵E-۴)	۵,۹۸۴E-۴ (۰,۰۰۱۶)
F۱۲	Min (SD)	-۱,۰۴۷۴ (۲,۰۵۵E-۰۵)	-۱,۰۴۷۴ (۲,۳۱۷E-۰۵)	-۱,۰۴۷۴ (۹,۰۱۴E-۰۶)	-۱,۰۴۷۴ (۳,۸۱۷E-۰۵)	-۱,۰۴۷۴ (۴,۰۸۲E-۰۵)
F۱۳	Min (SD)	-۱۰,۶۷۶ (۰,۰۷۹)	-۱۰,۶۷۶ (۰,۰۶۱)	-۱۰,۶۷۶ (۰,۰۳۳۳)	-۱۰,۶۷۶ (۰,۰۶۱۹)	-۱۰,۶۷۷ (۰,۰۶۶)
F۱۴	Min (SD)	-۲,۰۶۲ (۶,۵۴۹E-۰۴)	-۲,۰۶۲ (۴,۸۰۶E-۰۴)	-۲,۰۶۲ (۱,۸۲۵E-۰۴)	-۲,۰۶۲ (۴,۶۹۲E-۰۴)	-۲,۰۶۲ (۸,۴۶۰E-۰۶)

جدول ۵: نتایج حاصل از توابع محک استاندارد با استفاده از نگاشتهای مختلف در قسمت تولید ذرات.

تابع	معیار	نگاشت				
		دایره	تکراری	لیوویج	لジستیک	چیشیف
F۱	Min (SD)	-۰,۹۸۵۷ (۴,۴۵E-۰۴)	-۰,۵۹۳۳ (۲,۱۴E-۰۴)	-۰,۹۹۵۶ (۸,۶۲E-۰۷)	-۰,۹۹۹۷ (۲,۱۹E-۰۴)	-۰,۹۹۹۶ (۵,۳۰E-۰۵)
F۲	Min (SD)	-۱۸,۴۶۴۱ (۰,۰۰۳۷)	-۱۸,۵۴۸۵ (۰,۰۰۲۳)	-۱۸,۳۰۵۷ (۲,۳۳E-۰۵)	-۱۸,۰۵۹۸ (۱,۸۰E-۰۴)	-۱۸,۵۵۳۵ (۰,۰۲۱۰)
F۳	Min (SD)	-۰,۹۳۶۲ (۲,۷۹E-۰۴)	-۰,۹۹۹ (۰,۰۰۲۰)	-۰,۹۹۰۹ (۰,۰۰۳۰)	-۰,۹۹۹۹ (۲,۴۳E-۰۷)	-۰,۹۹۰۹ (۶,۴E-۰۴)
F۴	Min (SD)	۰,۷۹۵۱۴۴ (۱,۰۷E-۰۶)	۰,۷۹۵۱۴۷ (۲,۷۲E-۰۴)	۰,۷۹۵۱۴۸ (۱,۱۰E-۰۴)	۰,۷۹۵۱۴۴ (۵,۲۶E-۰۵)	۰,۷۹۵۱۴۳ (۲,۵۲E-۰۴)
F۵	Min (SD)	-۰,۹۸۵۸ (۱,۳۲E-۰۴)	-۰,۹۶۳۶۲ (۰,۰۱۹۵)	-۰,۸۸۵۲۵ (۱,۴۱E-۰۶)	-۰,۹۹۹۷۸ (۳,۰۹E-۰۵)	-۰,۹۹۹۴۵ (۷,۶۰E-۰۴)
F۶	Min (SD)	-۹۵۹,۶۴۱ (۰,۰۰۱۱)	-۹۵۹,۶۴۰ (۱,۷۷E-۰۴)	-۹۵۹,۶۴۱ (۳,۶۸E-۰۴)	-۹۵۹,۶۴۱ (۱,۹۰E-۰۴)	-۹۵۹,۶۴۱ (۸,۳۰E-۰۵)
F۷	Min (SD)	-۲,۰۷۳۹ (۴,۳۶E-۰۵)	-۲,۰۷۳۹ (۵,۰۹E-۰۵)	-۲,۰۷۳۹ (۴,۸۷۷E-۰۴)	-۲,۰۷۳۹ (۵,۴۲۲E-۰۵)	-۲,۰۷۳۹ (۳,۰۲۶E-۰۵)
F۸	Min (SD)	۲۴۴,۷۲۰۴ (۴,۷۳۸۲)	-۱۸,۱۳۸۱ (۱,۷۰۵۱)	۱,۸۱۴۱ (۰,۵۲۵۷)	۳,۷۵۹۸ (۰,۰۸۰۹)	-۴۲,۶۹۱۳ (۱,۷۰۱)
F۹	Min (SD)	-۷۷,۵۲ (۰,۰۰۸)	-۱۸۶,۰۵ (۰,۴۶۶)	-۱۲۰,۷۲ (۸,۰۹۸)	-۱۸۱,۰۵۷ (۱,۰۲۵)	-۱۸۶,۳۴ (۰,۰۰۸)
F۱۰	Min (SD)	-۱,۰۳۱۱ (۰,۰۰۱۱)	-۱,۰۱۶۹ (۲,۰۲E-۰۴)	-۰,۸۶۳۹ (۰,۰۰۳۵)	-۱,۰۲۲۷ (۰,۰۰۸۲)	-۱,۰۳۱۴ (۰,۰۰۱۴)
F۱۱	Min (SD)	۰,۰۰۱۱ (۰,۰۰۴۱)	۰,۰۰۱۱ (۰,۰۰۱۸)	۰,۰۰۲۳ (۰,۰۰۴۷)	۰,۰۰۲۳ (۰,۰۰۴۹)	۰,۰۰۸۰ (۰,۰۰۸۰)
F۱۲	Min (SD)	-۱,۰۴۷۴ (۱,۱۳۴۹E-۰۴)	-۱,۰۴۷۴ (۱,۴۲۷E-۰۵)	-۱,۰۴۷۴ (۱,۴۲۷E-۰۵)	-۱,۰۴۷۴ (۱,۰۲۶E-۰۵)	-۱,۰۴۷۴ (۴,۸۸۷E-۰۶)
F۱۳	Min (SD)	-۱۰,۶۷۲ (۰,۰۱۷۷)	-۱۰,۶۷۶ (۰,۰۵۸)	-۱۰,۶۷۲ (۰,۰۱۷۷)	-۱۰,۶۷۶ (۰,۰۸۲۳)	-۱۰,۶۷۸ (۰,۱۶۷۹)
F۱۴	Min (SD)	-۲,۰۶۲ (۵,۷۲۶E-۰۴)	-۲,۰۶۲ (۴,۰۷۷E-۰۴)	-۲,۰۶۲ (۲,۳۵۸E-۰۴)	-۲,۰۶۲ (۳,۰۱۱E-۰۴)	-۲,۰۶۲ (۱,۶۶۵E-۰۴)

جدول ۶: نتایج برخی از جفت نگاشتهای استفاده شده در الگوریتم پیشنهادی بر روی توابع محک استاندارد.

تابع	معیار	جفت نگاشتهای مورد استفاده در قسمت تولید ذرات / جستجو							
		لیوویج لیوویج	لیوویج چیشف	دایره تکراری	لیوویج تکراری	لجنستیک لیوویج	لیوویج تکراری	لیوویج چیشف	چیشف لیوویج
F ₁	Min (SD)	-0,9999 (0,0003)	-0,9999 (9,5E-04)	-0,9857 (2,66E-04)	-0,6698 (0,0026)	-0,997 (4,34E-04)	(1,01E-06) (0,001)	-0,9973 (0,001)	-0,9997 (2,58E-04)
F ₂	Min (SD)	-18,54 (0,0026)	-18,55 (0,0169)	-18,28 (1,316E-04)	-16,8 (2,699E-04)	-18,05 (3,728E-04)	(0,0030) (0,0036)	-18,53 (0,0015)	-18,55
F ₃	Min (SD)	-0,990 (0,0014)	-0,985 (2,225E-04)	-0,936 (2,62E-06)	-0,990 (0,0011)	-1 (4,92E-08)	(0,010) (2,457E-04)	-0,999 (4,838E-05)	-0,999
F ₄	Min (SD)	0,2951 (1,47E-05)	0,2951 (1,475E-04)	0,2951 (7,75E-05)	0,2951 (1,25E-04)	0,2951 (1,491E-04)	(1,718E-04) (3,486E-04)	0,2951 (1,47E-07)	0,2951
F ₅	Min (SD)	-0,99958 (0,0023)	-0,99991 (4,315E-04)	-0,99958 (0,0025)	-0,99943 (7,894E-04)	-0,99958 (0,0010)	-0,9987 (1,49E-05)	-0,99987 (1,859E-04)	-0,99995 (1,46E-05)
F ₆	Min (SD)	-959,640 (4,322E-04)	-959,640 (1,314E-04)	-959,640 (1,643E-05)	-959,640 (9,738E-05)	-959,640 (9,905E-05)	(6,978E-05) (1,364E-05)	-959,640 (1,364E-05)	-959,640 (8,37E-08)
F ₇	Min (SD)	-2,8738 (2,63E-04)	-2,8738 (3,528E-04)	-2,8738 (9,12E-05)	-2,8738 (2,11E-04)	-2,8738 (1,238E-05)	(2,42E-04) (3,085E-04)	-2,8738 (2,4E-06)	-2,8738
F ₈	Min (SD)	-11,405 (0,2287)	-21,95 (0,3205)	99,91 (2,7230)	-29,99 (0,1052)	3,759 (0,0075)	-35,90 (0,305)	-34,71 (2,7079)	-42,69 (2,2045)
F ₉	Min (SD)	-186,69 (0,3060)	-186,71 (0,0678)	-77,475 (0,0765)	-186,056 (4,9744)	-181,583 (0,4901)	-186,68 (0,469)	-186,69 (0,1023)	-186,72 (1,052)
F ₁₀	Min (SD)	-1,030 (0,0034)	-1,031 (0,0025)	-1,031 (0,0034)	-1,009 (8,501E-04)	-0,9380 (0,0286)	-1,031 (0,0022)	-1,031 (0,0045)	-1,031 (0,0021)
F ₁₁	Min (SD)	0,0023 (0,0048)	4,809E-04 (0,0043)	0,0023 (0,0052)	6,172E-04 (0,0022)	0,0023 (0,0050)	0,0037 (0,0067)	4,545E-04 (0,0015)	4,12E-04 (0,0029)
F ₁₂	Min (SD)	-1,0474 (9,737E-05)	-1,0474 (5,146E-05)	-1,0474 (7,707E-05)	-1,0474 (9,737E-05)	-1,0474 (9,568E-06)	-1,0474 (1,09E-04)	-1,0474 (6,704E-06)	-1,0474 (4,88E-06)
F ₁₃	Min (SD)	-10,676 (0,0619)	-10,677 (0,0103)	-10,678 (0,0605)	-10,678 (0,0605)	-10,678 (0,0605)	-10,673 (0,1125)	-10,664 (0,0553)	-10,678 (0,0465)
F ₁₄	Min (SD)	-2,062 (4,332E-04)	-2,062 (5,04E-05)	-2,062 (1,383E-04)	-2,062 (2,911E-04)	-2,062 (2,332E-05)	-2,062 (6,016E-04)	-2,062 (2,334E-04)	-2,062 (1,28E-05)

۱، نگاشت چیشف و نگاشت آشوب ۲، نگاشت لیوویج است. استفاده همزمان از این دو نگاشت منجر به بهبود انحراف معیار و مقدار کمینه حاصل از اجرای الگوریتم پیشنهادی با مقایسه با الگوریتم‌های ژنتیک، ازدحام ذرات، جستجوی هارمونی و جستجوی ابرکروی استاندارد در تعداد تکرار کمتر می‌شود. همچنین الگوریتم پیشنهادی از سرعت همگرایی مناسبی برخوردار است زیرا همان طور که پیشتر آورده شده است، تعداد تکرار اجرای الگوریتم برای رسیدن به جواب مطلوب در سایر الگوریتم‌های مورد بررسی برابر صد اما در الگوریتم پیشنهادی برابر هفتاد در نظر گرفته شده است.

در الگوریتم ژنتیک، احتمال جهش را برابر ۰,۹، در الگوریتم ازدحام ذرات ضرب انتقابی، پارامترهای شناختی و اجتماعی را برابر ۲ و در الگوریتم جستجوی هارمونی اندازه حافظه هارمونی، نرخ در نظر گرفتن حافظه هارمونی^۱، نرخ تطبیق گام^۲ و فاصله پهنای باند^۳ را به ترتیب برابر ۰,۰۵، ۰,۰۳ و ۰,۰۱ در نظر گرفته‌ایم.

1. Harmony Memory Consideration Rate

2. Pitch Adjusting Rate

3. Distance Bound Wide

و یا بیشتر توابع محک مورد بررسی به نتیجه مطلوب برسند. پس از انتخاب جفت نگاشت سازگار، انحراف معیار و مقدار کمینه حاصل از الگوریتم پیشنهادی با نتایج حاصل از الگوریتم‌های ژنتیک، ازدحام ذرات، جستجوی هارمونی و جستجوی ابرکروی استاندارد مقایسه می‌شود که نتایج حاصل در جدول ۷ آورده شده است.

زمان اجرای الگوریتم‌های مورد بررسی برای هر یک از توابع محک استاندارد در جدول ۸ آمد و مقدار کمینه مدت زمان اجرا که به صورت پرزنگ نشان داده شده است، متعلق به الگوریتم جستجوی هارمونی می‌باشد. با توجه به نتایج آورده شده در جدول ۸ می‌توان مشاهده کرد که مدت زمان اجرای الگوریتم پیشنهادی برای برخی از توابع محک نسبت به سایر الگوریتم‌های مورد بررسی بیشتر است و این در حالی است که با توجه به نتایج آورده شده در جدول ۷ می‌توان مشاهده کرد که در تمامی توابع مورد بررسی الگوریتم پیشنهادی از سایر الگوریتم‌های مورد بررسی موفق‌تر عمل کرده است. با توجه به نتایج آورده شده در جدول ۶ و ۷ که مینه نتایج به صورت پرزنگ نمایش داده شده است می‌توان نتیجه گرفت که مناسب‌ترین و سازگارترین جفت نگاشت، نگاشت چیشف برای قسمت تولید ذرات (گام اول و چهارم) و نگاشت لیوویج برای قسمت جستجو می‌باشد. پس می‌توان نتیجه گرفت که در شکل ۳، نگاشت آشوب

جدول ۷: نتایج حاصل از توابع محک استاندارد با استفاده از الگوریتم‌های مورد بررسی.

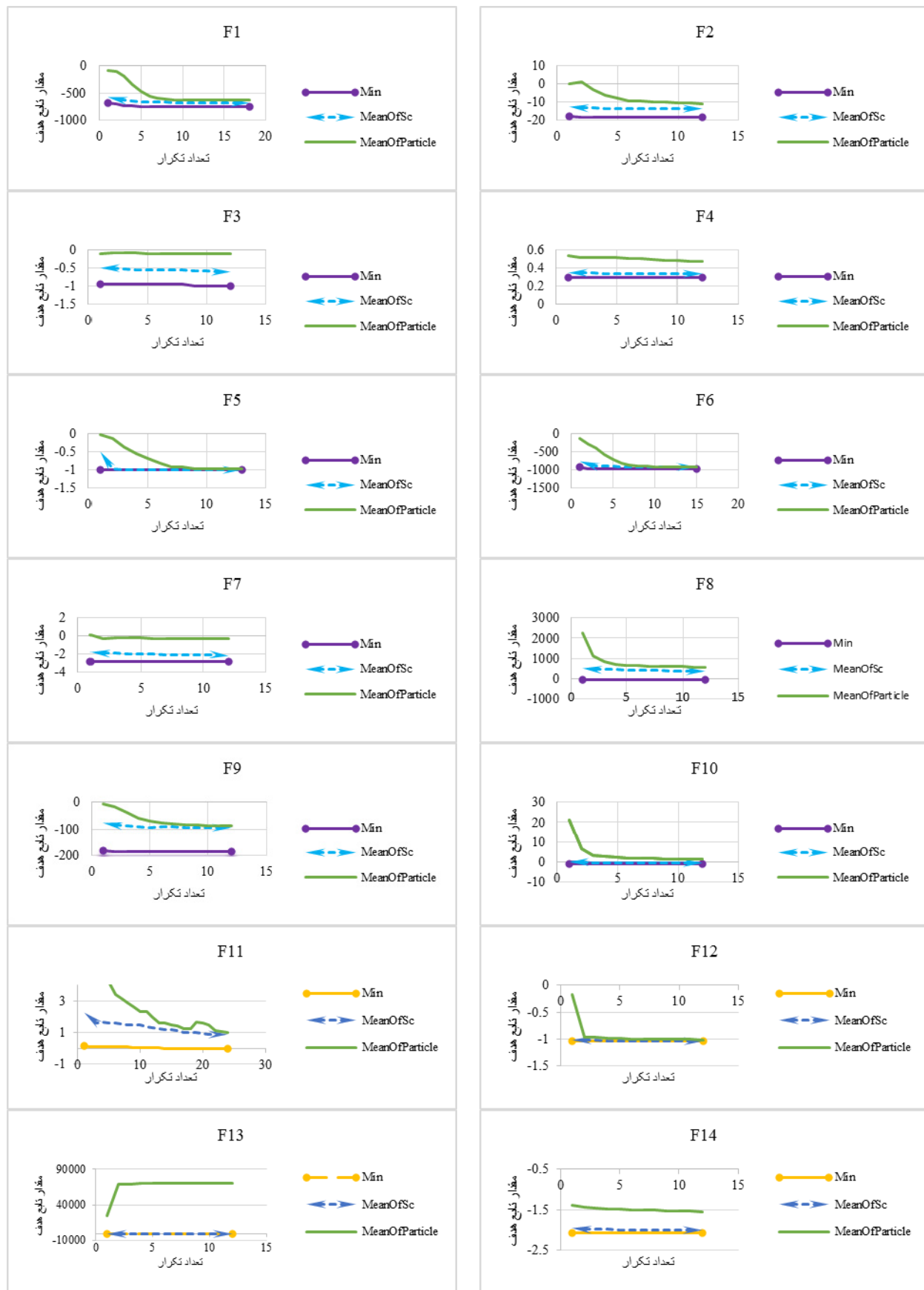
تابع	معیار	الگوریتم				
		CHSS	HSS	HSA	PSO	GA
F۱	Min (SD)	-۰,۹۹۶۱ (۱,۴۶E-۰۶)	-۰,۹۹۵ (۲,۰۹E-۰۴)	-۰,۹۹۵۵ (۰,۲۰۰)	-۰,۹۹۸۵ (۰,۰۳۳۶)	-۱ (۴,۴۲E-۰۶)
F۲	Min (SD)	-۱۸,۵۵ (۰,۰۰۱۵)	-۱۸,۵۵ (۰,۰۲۷۴)	-۱۸,۵۴ (۱,۴۳۶۴)	-۱۸,۵۴ (۰,۶۵۰۵)	-۱۸,۵۱ (۰,۶۵۰۳)
F۳	Min (SD)	-۰,۹۹۹ (۴,۸۳۸E-۰۵)	-۰,۹۷۲۶ (۰,۰۰۱)	-۰,۹۵۵۰ (۰,۱۲۰۰)	-۱ (۰,۲۶۹۵)	-۱ (۰,۰۰۱۷)
F۴	Min (SD)	۰,۲۹۵۱ (۱,۴۷۸E-۰۷)	۰,۲۹۵۱ (۱,۰۴E-۰۴)	۰,۲۹۵۵ (۰,۰۲۵۶)	۰,۲۹۵۱ (۰,۰۰۲۴)	۰,۲۹۵۱ (۹,۴۴۶E-۰۶)
F۵	Min (SD)	-۰,۹۹۹۹ (۱,۴۶E-۰۵)	-۰,۹۹۹۵ (۲,۸۹E-۰۴)	-۰,۹۹۵۵ (۰,۲۰۰۰)	-۰,۹۹۸۵ (۰,۰۳۳۶)	-۱ (۴,۴۲E-۰۶)
F۶	Min (SD)	-۹۵۹,۶۴۰ (۸,۳۷۲E-۰۸)	-۹۵۹,۶۴۰ (۱,۰۵E-۰۴)	-۹۳۰,۴۴۷ (۱,۰۴,۳۵)	-۹۴۶,۵۱۷ (۳۴,۰۸۷۲)	-۸۸۵,۷۵۷ (۷۴,۶۱۲۳)
F۷	Min (SD)	-۲,۸۷۳ (۲,۴۰۱E-۰۶)	-۲,۸۷۳ (۲,۲۰E-۰۵)	-۰,۸۶۹ (۰,۰۹۶)	-۰,۸۶۹ (۷,۰۹E-۰۶)	-۲,۸۷۳ (۰,۱۱۲۴)
F۸	Min (SD)	-۴۲,۶۹ (۲,۲۰۴۵)	-۳۶,۵۰۲ (۶,۰۲۰)	-۲۳,۶۱۶۱ (۱۴۵,۱۴)	-۵ (۳,۴۲۸۱)	-۴۰,۱۶ (۴,۹۴۳)
F۹	Min (SD)	-۱۸۶,۷۲ (۱,۰۵۲)	-۱۸۶,۶۵ (۰,۴۷۶۶)	-۱۸۵,۵۱ (۰,۴۴۶۹)	-۱۸۶,۴۰ (۱۸,۸۱)	-۱۸۶,۱۸۵ (۳,۶۸۷۶)
F۱۰	Min (SD)	-۱,۰۳۱ (۰,۰۰۲۱)	-۱,۰۳۰ (۰,۰۰۲)	-۱,۰۳۶ (۰,۲۰۸۰)	-۱,۰۳۰ (۰,۰۱۳۲)	-۱,۰۳۱ (۰,۰۰۲۱)
F۱۱	Min (SD)	۴,۱۲۹E-۰۴ (۰,۰۰۴۹)	۶,۰۳E-۰۴ (۲,۲۷E-۰۴)	۷,۷۷E-۰۴ (۱,۱۸۷۲)	۰,۰۰۱ (۰,۰۲۱۱)	۰,۰۱۴۸ (۳,۹۰E-۰۲)
F۱۲	Min (SD)	-۱,۰۴۷۴ (۴,۸۸۷E-۰۶)	-۱,۰۴۷۳ (۲,۱۴E-۰۵)	-۱,۰۴۷۲ (۰,۰۱۵۴)	-۱,۰۴۷۴ (۴,۸۶E-۰۴)	-۱,۰۴۷۴ (۲,۸۴E-۰۴)
F۱۳	Min (SD)	-۱۰,۶۷۸ (۰,۰۲۶۵)	-۱۰,۶۷۵ (۰,۰۵۳)	-۱۰,۶۷۳ (۱۵,۸۸)	-۱۰,۶۷۷ (۰,۹۳۶۵)	-۱۰,۶۶۵ (۰,۷۳۳)
F۱۴	Min (SD)	-۲,۰۶۲۶ (۱,۲۸۱E-۰۵)	-۲,۰۶۲۶ (۰,۰۰۱)	-۲,۰۶۲۶ (۰,۰۰۶)	-۲,۰۶۲۶ (۱,۱۱E-۰۴)	-۲,۰۶۲۶ (۰,۰۰۲)

با توجه به نتایج آورده شده در جدول ۷ که شامل مقدار انحراف معیار^۱ (SD) و مقدار کمینه (Min) می‌شود می‌توان مشاهده کرد که مقدار کمینه از اجرای الگوریتم بر روی تابع F۸ نسبت به دیگر الگوریتم‌های مورد بررسی به مراتب بهتر می‌باشد. به عبارت دیگر نه تنها به مقدار کمینه رسیده است بلکه انحراف معیار نیز کمتر است.

بر اساس نتایج آورده شده برای تابع F۴، F۷، F۸ و F۱۴ می‌توان مشاهده کرد مقدار کمینه یکسان است اما انحراف معیار الگوریتم پیشنهادی از سایر الگوریتم‌ها کمتر می‌باشد. زیرا استفاده از نظریه آشوب در الگوریتم‌های فرالبتکاری منجر به کاهش انحراف معیار در نتایج حاصل از الگوریتم و همچنین بهبود کارایی الگوریتم می‌شود. بررسی نتایج حاصل روی توابع F۳ و F۵ بیانگر آن است که اگر الگوریتم پیشنهادی در رسیدن به مقدار کمینه نسبت به دیگر الگوریتم‌ها کمی ضعیف عمل کند، اختلاف نتایج به دست آمده بسیار کم بوده و انحراف معیار الگوریتم پیشنهادی از اکثر الگوریتم‌ها بسیار کمتر می‌باشد. به عبارت دیگر، ثبات بیشتری در ارائه نتایج دارد.

جدول ۸: زمان اجرای الگوریتم‌های مورد بررسی برای برخی از توابع محک استاندارد.

تابع	الگوریتم				
	CHSS	HSS	HSA	GA	PSO
F۱	۰,۶۸۳	۰,۷۱۴	۰,۲۲۱	۲,۲۱۴	۰,۲۹۳
F۲	۰,۴۸۳	۰,۴۸۲	۰,۲۱۳	۳,۵۰۰	۰,۳۲۹
F۳	۰,۴۳۷	۰,۵۹۳	۰,۲۰۹	۲,۶۶۰	۰,۲۶۰
F۴	۰,۴۶۹	۰,۵۸۴	۰,۲۱۰	۲,۷۳۷	۰,۲۷۴
F۵	۰,۶۸۳	۰,۷۱۴	۰,۲۲۱	۲,۷۱۴	۰,۲۹۳
F۶	۰,۹۳۸	۱,۰۴۷	۰,۲۱۰	۲,۸۱۷	۰,۲۹۴
F۷	۰,۶۳۳	۰,۶۳۶	۰,۲۱۶	۲,۷۲۹	۰,۲۷۴
F۸	۱,۶۲۵	۱,۸۷۸	۰,۲۱۵	۲,۸۱۵	۰,۳۷۴
F۹	۰,۷۷۵	۰,۸۴	۰,۲۰۷	۲,۷۹۳	۰,۲۴۳
F۱۰	۰,۸۲۸	۰,۷۷	۰,۲۲۰	۲,۸۴۷	۰,۲۵۴



شکل ۴: نمودار مقدار کمینه، میانگین مراکز کره و میانگین ذرات حاصل از توابع محک با استفاده از الگوریتم پیشنهادی.

تمامی توابع مورد بررسی با افزایش تعداد تکرار، مقدار کمینه و میانگین مراکز کره بهبود یافته و همچنین در اکثر توابع مورد بررسی با افزایش تعداد تکرار مقادیر میانگین ذرات به مقدار کمینه نزدیک می‌شود.

در شکل ۴ نمودار میانگین مراکز کره، میانگین ذرات و مقدار کمینه نتایج حاصل از اجرای الگوریتم پیشنهادی بر روی توابع محک مورد بررسی آورده شده است. همان طور که در شکل ۴ مشاهده می‌کنید در

- in Nonlinear Science and Numerical Simulation*, vol. 18, no. 2, pp. 327-340, Feb. 2013.
- [11] B. Alatas, "Chaotic bee colony algorithms for global numerical optimization," *Expert Systems with Applications*, vol. 37, no. 8, pp. 5682-5687, Aug. 2010.
- [12] A. H. Gandomi and X. S. Yang, "Chaotic bat algorithm," *J. of Computational Science*, vol. 5, no. 2, pp. 224-232, Mar. 2014.
- [13] H. Karami, M. J. Sanjari, and G. B. Gharehpetian, "Hyper-spherical search (HSS) algorithm: a novel meta-heuristic algorithm to optimize nonlinear functions," *Neural Computing and Applications*, vol. 25, no. 6, pp. 1455-1465, Nov. 2014.
- [14] P. Arena, R. Caponetto, L. Fortuna, A. Rizzo, and M. La Rosa, "Self-organization in nonrecurrent complex systems," *International J. of Bifurcation and Chaos*, vol. 10, no. 5, pp. 1115-1125, May 2000.
- [15] B. Alatas, E. Akin, and A. B. Ozer, "Chaos embedded particle swarm optimization algorithms," *Chaos, Solitons & Fractals*, vol. 40, no. 4, pp. 1715-1734, May 2009.
- [16] E. N. Lorenz, "Deterministic nonperiodic flow," *J. of the Atmospheric Sciences*, vol. 20, no. 2, pp. 130-141, Mar. 1963.
- [17] L. Dos Santos Coelho and V. C. Mariani, "Use of chaotic sequences in a biologically inspired algorithm for engineering design optimization," *Expert Systems with Applications*, vol. 34, no. 3, pp. 1905-1913, Apr. 2008.
- [18] S. Das and P. N. Suganthan, *Problem Definitions and Evaluation Criteria for CEC 2011 Competition on Testing Evolutionary Algorithms on Real World Optimization Problems*, Technical Report, Dec. 2010.

محمد کلاتری در سال ۱۳۷۷ مقطع کارشناسی در مهندسی کامپیوتر را در دانشگاه علم و صنعت ایران به پایان رساند و مدارک کارشناسی ارشد و دکترای مهندسی کامپیوتر خود را بهترتیپ در سال های ۱۳۸۰ و ۱۳۸۷ از دانشگاه صنعتی امیرکبیر (پلی تکنیک تهران) دریافت نمود و هم‌اکنون استادیار دانشکده مهندسی کامپیوتر دانشگاه تربیت دیر شهید رجایی تهران می‌باشد. زمینه‌های تحقیقاتی مورد علاقه ایشان عبارتند از: پردازش سیگنال آماری، بهبود سیگنال گفتار، آرایه میکروفونی کروی، فرآیندهای تصادفی.

سکینه سهرابی در سال ۱۳۹۲ مدرک کارشناسی مهندسی نرم‌افزار کامپیوتر خود را از دانشکده شریعتی تهران و در سال ۱۳۹۶ مدرک کارشناسی ارشد مهندسی نرم‌افزار کامپیوتر خود را از دانشگاه تربیت دیر شهید رجایی دریافت نمود. از سال ۱۳۹۰ بهارده به برنامه‌نویسی و طراحی کاربردهای تحت وب مشغول بوده و از سال ۱۳۹۳ به استخدام آموزش و پژوهش درآمده است. زمینه‌های تحقیقاتی مورد علاقه ایشان عبارتند از: بهینه‌سازی، الگوریتم‌های تکاملی، محاسبات نرم.

حیدرضا رشیدی کنعان در سال ۱۳۸۷ مدرک دکتری برق (گرایش الکترونیک) خود را از دانشگاه صنعتی امیرکبیر (پلی تکنیک تهران) دریافت نمود و هم‌اکنون استادیار دانشکده مهندسی کامپیوتر دانشگاه شهید رجایی می‌باشد. نامبرده قبل از پیوستن به دانشگاه شهید رجایی، از سال ۱۳۸۸ تا ۱۳۹۴ استادیار دانشگاه پوعلی سینا بوده است. زمینه‌های تحقیقاتی مورد علاقه ایشان عبارتند از پردازش تصویر و ویدئو، بینایی ماشین، بازناسانی الگو، بیومتریک، الگوریتم‌های بهینه‌سازی و یادگیری عمیق.

حسین کرمی تحصیلات خود را در مقاطع کارشناسی، کارشناسی ارشد و دکترای مهندسی برق-قدرت بهترتیپ در سال های ۱۳۸۹ و ۱۳۹۶ از دانشگاه صنعتی امیرکبیر می‌باشد. نامبرده در مقاله در ژورنال‌های نمایه شده در ISI و ۳۰ مقاله در کنفرانس‌های ملی و بین المللی است. همچنین از ایشان سه اختراع داخلی و یک اختراع بین المللی به ثبت رسیده است. زمینه‌های تحقیقاتی مورد علاقه ایشان عبارتند از: بهینه‌سازی در سیستم قدرت، سیستم‌های هوشمند خانگی، برنامه‌ریزی سیستم‌های انرژی، پایش برخط ترانسفورماتورهای قدرت، عیب تخلیه جزیی در ترانسفورماتورهای قدرت.

۶- نتیجه‌گیری

در این مقاله نسخه جدیدی از الگوریتم جستجوی ابرکروی با استفاده از نظریه آشوب ارائه شده که ضعف جستجوی ابرکروی استاندارد را برطرف کرده است. الگوریتم جستجوی ابرکروی استاندارد دارای ضعف همگرایی و افزایش تعداد تکرار اجرای الگوریتم برای رسیدن به جواب کمینه در برخی از توابع محک استاندارد می‌باشد. در اکثر الگوریتم‌های فراابتکاری با اجزای تصادفی،تابع توزیع احتمال استفاده شده تابع توزیع احتمال گاویسی یا یکنواخت می‌باشد اما در روش ارائه شده در این مقاله، پس از انجام آزمایشات مختلف به این نتیجه رسیده‌ایم که از نگاشت چبیشف برای قسمت تولید ذرات و نگاشت لیوویچ برای قسمت جستجو استفاده نماییم. اعداد تولیدشده توسط نگاشتهای مذکور جایگزین اعداد تصادفی با تابع توزیع احتمال یکنواخت در الگوریتم جستجوی ابرکروی استاندارد شده است. نتایج حاصل بیانگر آن است که الگوریتم پیشنهادی ضمن برخورداری از همگرایی ژنتیک، ازدحام ذرات، جستجوی هارمونی و همچنین الگوریتم جستجوی ابرکروی استاندارد دارد. استفاده از نظریه آشوب منجر به بهبود و کاهش انحراف معیار نتایج حاصل از اجرای الگوریتم شده است.

۷- تشکر و قدردانی

این پژوهش با حمایت مالی دانشگاه تربیت دیر شهید رجایی طبق قرارداد شماره ۲۶۲۳۶ مورخ ۹۵/۱۰/۷ انجام گردیده است.

مراجع

- X. S. Yang, *Nature-Inspired Metaheuristic Algorithms*, Luniver Press, 2010.
- S. A. Ahmadi, "Human behavior-based optimization: a novel metaheuristic approach to solve complex optimization problems," *Neural Computing and Applications*, vol. 28, no. 1, pp. 233-244, Dec. 2017.
- A. H. Gandomi, A. H. Alavi, and S. Talatahari, "Structural optimization using krill herd algorithm," *Swarm Intelligence and Bio-Inspired Computation: Theory and Applications*, pp. 335-349, 2013.
- R. Nallakumar, N. Sengottaiyan, and K. S. Priya, "A survey on scheduling and the attributes of task scheduling in the cloud," *Int. J. Adv. Res. Comput. Commun. Eng.*, vol. 3, no. 10, pp. 8167-8171, Oct. 2014.
- C. W. Tsai and J. J. Rodrigues, "Metaheuristic scheduling for cloud: a survey," *IEEE Systems J.*, vol. 8, no. 1, pp. 279-291, Mar. 2014.
- F. Dong, J. Luo, L. Gao, and L. Ge, "A grid task scheduling algorithm based on QoS priority grouping," in *Proc. 5th Int. Conf. on Grid and Cooperative Computing, GCC'06*, pp. 58-61, Hunan, China, 21-23 Oct. 2006.
- U. Parlitz and L. Junge, "Synchronization of chaotic systems," in *Proc. European Control Conf., ECC'99*, pp. 4637-4642, Karlsruhe, Germany, 31 Aug.-3 Sept. 1999.
- D. Yang, G. Li, and G. Cheng, "On the efficiency of chaos optimization algorithms for global optimization," *Chaos, Solitons & Fractals*, vol. 34, no. 4, pp. 1366-1375, Nov. 2007.
- B. Alatas, "Chaotic harmony search algorithms," *Applied Mathematics and Computation*, vol. 216, no. 9, pp. 2687-2699, Jul. 2010.
- A. H. Gandomi, G. J. Yun, X. S. Yang, and S. Talatahari, "Chaos-enhanced accelerated particle swarm optimization," *Communications*